

Ewolucyjna optymalizacja dynamicznych funkcji celu

Patryk Filipiak Piotr Lipiński

Seminarium ZMN
7 grudnia 2010

Wprowadzenie

Problem dynamiczny a wiele problemów statycznych

Optymalizacja wielokryterialna

Optymalizacja wielokryterialna w problemach dynamicznych

Algorytm IDEA-ARIMA

Wstępne wyniki

Podsumowanie



Definicja problemu

Funkcja celu

Rozważać będziemy zagadnienie minimalizacji wartości funkcji

$$F(\alpha) : \mathbb{R}^d \rightarrow \mathbb{R},$$

gdzie α jest pewnym wektorem parametrów zmiennym w czasie.

Przyjmijmy następujące oznaczenie:

$$F(t) = F(\alpha_t),$$

gdzie α_t reprezentuje wektor parametrów α w chwili $t \in \mathbb{N}_+$.



Definicja problemu

Ograniczenia

Analogicznie definiujemy ograniczenia postaci

$$G_i^{(\alpha)} : \mathbb{R}^d \rightarrow \mathbb{R}, \quad i = 1, \dots, m.$$

Jak uprzednio, przyjmujemy notację: $G_i^{(t)} = G_i^{(\alpha_t)}$, $t \in \mathbb{N}_+$.

Cel

Dla każdego $t \in \{t_1, t_2, \dots, t_k\} \subset \mathbb{N}_+$ szukamy $x^{(t)} \in \mathbb{R}^d$ takiego, że

$$x^{(t)} = \arg \min \{ F^{(t)}(x) : x \in \mathbb{R}^d \wedge \forall_{i=1, \dots, m} G_i^{(t)}(x) \geq 0 \}.$$

Przykładowe zastosowania praktyczne

- ▶ optymalizacja w czasie rzeczywistym portfela akcji uwzględniająca napływ bieżących danych w postaci szeregu czasowego,
- ▶ zarządzanie zasobami (np. pomieszczeniami w budynku) w zależności od bieżącego zapotrzebowania,
- ▶ kontrola ruchu lotniczego w bezpośrednim otoczeniu lotniska, dostosowująca się do aktualnych wskazań radarów, np. kolejkovanie startów i lądowań.

(Bui, Branke, Abbass, 2005)

Przykład testowy

Funkcja testowa g24_2 (Nguyen, Yao, 2009)

Funkcja celu

$$F^{(t)}(x) = -[\rho_1(t) \cdot x_1 + \rho_2(t) \cdot x_2]$$

$$\rho_1(t) = \begin{cases} \sin\left(\frac{k\pi t}{2} + \frac{\pi}{2}\right), & t \mid 2 \\ \rho_1(t-1), & t \nmid 2 \end{cases} \quad \rho_2(t) = \begin{cases} \rho_2(\max\{0, t-1\}), & t \mid 2 \\ \sin\left(\frac{k\pi(t-1)}{2} + \frac{\pi}{2}\right), & t \nmid 2 \end{cases}$$

Ograniczenia

$$G_1(x) = 2x_1^4 - 8x_1^3 + 8x_1^2 - x_2 + 2$$

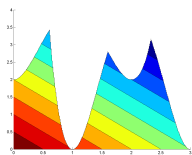
$$G_2(x) = 4x_1^4 - 32x_1^3 + 88x_1^2 - 96x_1 - x_2 + 36$$

$$x = (x_1, x_2) \in [0, 3] \times [0, 4] \quad k \in [0, 2] - \text{regulator tempa zmian}$$

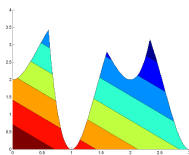


Przykład testowy

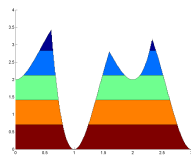
Wykresy funkcji celu z uwzględnieniem ograniczeń:



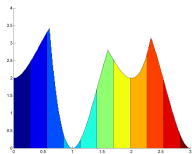
$t = 1$



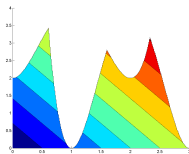
$t = 3$



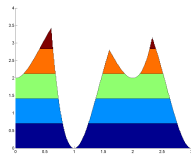
$t = 4$



$t = 6$



$t = 8$



$t = 12$

Problem dynamiczny a wiele problemów statycznych

- ▶ Dyskretny pomiar czasu pozwala sprowadzić problem dynamiczny do skończenie wielu następujących po sobie problemów statycznych.
- ▶ Można zastosować klasyczne metody optymalizacji dla każdego z tych problemów niezależnie.

Reinicjalizacja

W takim ujęciu rozwiązanie każdego z tych problemów rozpocznie się od wygenerowania losowej populacji początkowej (tzw. *reinicjalizacja*).

- ▶ Nawet najmniejsze zmiany funkcji celu bądź ograniczeń powodują rozpoczęcie kosztownego czasowo procesu optymalizacji od początku.
- ▶ Reinicjalizacja powoduje w istocie utratę informacji o optymalnych rozwiązaniach z chwili $t - 1$, które prawdopodobnie były bliskie optymalnym rozwiązaniom dla chwili t .



Alternatywnie, można w kolejnej optymalizacji użyć populacji początkowej wyznaczonej przez populację końcową z poprzedniego zadania.

Niska reaktywność na zmiany warunków

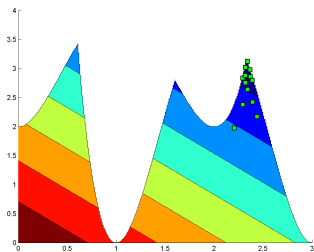
Populacji osobników zgromadzonych w okolicy optymalnego rozwiązania dla chwili $t - 1$ zajmie zbyt wiele czasu dostosowanie się do nowych warunków, jeśli optimum dla chwili t jest znacznie oddalone.

Dynamiczne ograniczenia

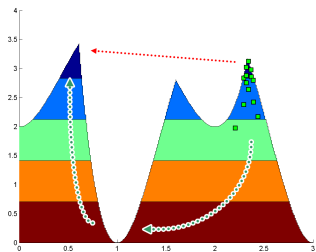
Uzależnienie funkcji ograniczeń $G_i^{(t)}$ od czasu wprowadza dodatkowe utrudnienie. Przynajmniej część osobników dopuszczalnych w chwili $t - 1$ może stać się niedopuszczalna w chwili t , a zatem powinna wówczas zostać usunięta bądź skorygowana.

Przykład – niska reaktywność na zmiany warunków

Konieczność spełniania ograniczeń i możliwa niespójność obszaru dopuszczalnego utrudniają adaptację do nowych warunków.



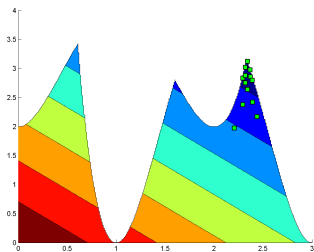
$t = 3$



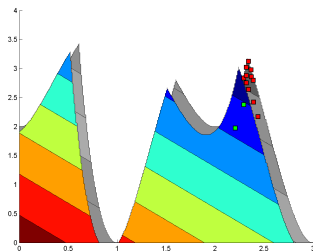
$t = 4$

Przykład – dynamiczne ograniczenia

Przeważająca frakcja osobników w populacji staje się niedopuszczalna wskutek nieznacznej zmiany ograniczeń.



$t = 3$



$t = 4$

Utrzymywanie frakcji rozwiązań niedopuszczalnych

Możliwym rozwiązaniem poruszonych problemów jest akceptowanie pewnych rozwiązań niedopuszczalnych i utrzymywanie ich w populacji pomimo łamania ograniczeń (Yang, Zhou, 2008):

- ▶ Rozwiązania niedopuszczalne mogą torować „skrót” podczas adaptacji do nowych warunków, powodując szybsze odnajdowanie optymalnych rozwiązań dopuszczalnych.
- ▶ Osobniki bliskie optimum, które wskutek zmiany ograniczeń w czasie stały się niedopuszczalne, nie muszą być usuwane ani sztucznie poprawiane.

Problemy:

- ▶ Jak liczna może być frakcja rozwiązań niedopuszczalnych, aby nie zakłócić procesu znajdowania rozwiązań dopuszczalnych?
- ▶ Jak porównywać ze sobą dwa rozwiązania niedopuszczalne?
- ▶ Jak porównywać ze sobą rozwiązania – dopuszczalne i niedopuszczalne?

Dodatkowe kryterium

Obok wartości funkcji celu otrzymujemy dodatkowe kryterium optymalizacji – miarę odchylenia od dopuszczalności.



Optymalizacja wielokryterialna

Niech

$$F_i : \mathbb{R}^d \rightarrow \mathbb{R}, \quad i = 1, 2, \dots, k$$

będą funkcjami celu, zaś

$$G_i : \mathbb{R}^d \rightarrow \mathbb{R}, \quad i = 1, 2, \dots, m$$

funkcjami ograniczeń.

Celem jest znalezienie rozwiązania $x \in \mathbb{R}^d$, dla którego każda z funkcji F_i ($i = 1, 2, \dots, k$) przyjmuje wartości *możliwie niskie*.

Agregacja

Agregacja redukuje problem wielokryterialny do monokryterialnego (Hajela, Lin, 1992). Określamy funkcję agregującą

$$\Psi : \mathbb{R}^k \rightarrow \mathbb{R}$$

i sprowadzamy problem optymalizacji wielokryterialnej do optymalizacji funkcji celu $\Psi(F_1(\cdot), F_2(\cdot), \dots, F_k(\cdot))$.

Przykłady funkcji agregujących:

- ▶ kombinacja wypukła,
- ▶ krzywe ważone.

Agregacja

W przypadku optymalizacji dynamicznej funkcji celu:

$k = 2$ oraz

$$F_1^{(t)} = F^{(t)},$$

$$F_2^{(t)} = \xi^{(t)},$$

gdzie $\xi^{(t)}$ jest pewną miarą odchylenia od dopuszczalności.

Agregacja – właściwości

- ▶ Metoda jest łatwa w implementacji.
- ▶ Problem wielokryterialny zwykle nie jest zbiorem niezależnych problemów monokryterialnych, dlatego kluczowe jest odpowiednie dobranie wag stojących przy $F_i(\cdot)$, a to z kolei wymaga posiadania dokładnych informacji o naturze optymalizowanego zjawiska.
- ▶ Dobór odpowiednich wag można poddać ewolucyjnej optymalizacji (Zitzler, Thiele, 1999).
- ▶ Agregacja prowadzi do wyznaczenia ekstremum funkcji agregującej (jedno rozwiązanie). W praktyce, dla problemu wielokryterialnego bardziej użyteczny mógłby być zbiór najlepszych znalezionych rozwiązań – tzw. *front Pareto*.



Front Pareto

Dominacja w sensie Pareto

Niech $x, y \in \mathbb{R}^d$. Mówimy, że x **dominuje** y , gdy

$$\forall_{i \in \{1, \dots, k\}} F_i(x) \geq F_i(y) \quad \wedge \quad \exists_{i_0 \in \{1, \dots, k\}} F_{i_0}(x) > F_{i_0}(y).$$

Oznaczamy: $x \succ y$.

Niech $D \subseteq \mathbb{R}^d$ oznacza zbiór rozwiązań dopuszczalnych. Zbiór

$$\{x \in D : \neg \exists_{y \in D} y \succ x\}$$

nazywamy **frontem Pareto** lub **zbiorem Pareto-optymalnym**.



Ewolucyjna optymalizacja wielokryterialna

Funkcja przystosowania:

W algorytmie ewolucyjnym pełni rolę miary „jakości” danego osobnika. W problemie wielokryterialnym nie sposób jednak przypisać osobnikowi jednej wartości rzeczywistej bez zastosowania agregacji. Wykorzystuje się zatem pojęcie dominacji w sensie Pareto.

Typowe rozwiązania:

- ▶ metoda turniejowa – np. algorytm SPEA II,
- ▶ metoda rangowa – np. algorytm NSGA II.



Algorytm SPEA II

Udoskonalona wersja SPEA, ang. *Strength Pareto Evolutionary Algorithm* (Zitzler i in., 2009).

Metoda turniejowa

- ▶ Wybieramy n osobników do turnieju.
- ▶ Za zwycięzcę turnieju uznajemy osobnika, który nie jest dominowany przez pozostałych uczestników. W przypadku zwycięstwa *ex equo*, wyłaniamy losowo jednego spośród nich.

Populacja pomocnicza

Do reprodukcji wykorzystywana jest pomocnicza populacja najlepszych dotychczas znalezionych rozwiązań.



Algorytm NSGA II

Udoskonalona wersja NSGA, ang. *Non-dominated Sorting Genetic Algorithm* (Deb i in., 2008).

Metoda rangowa

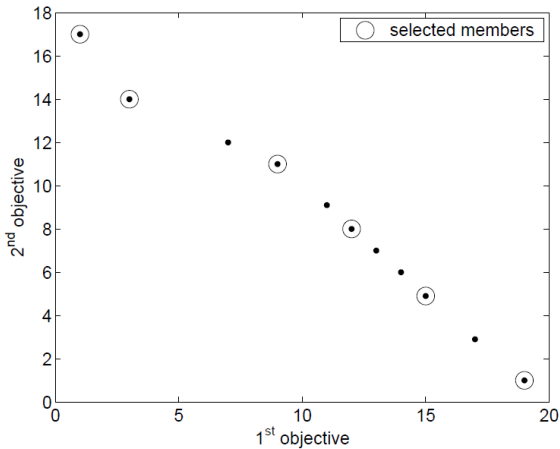
- ▶ Osobniki niedominowane otrzymują rangę 0.
- ▶ Spośród pozostałych osobników znów wybierane są niedominowane i otrzymują rangę 1. Procedura jest powtarzana dla kolejnych rang aż do wyczerpania osobników.

Miara gęstości (ang. *crowding distance*)

Dla uniknięcia efektu tworzenia skupisk wokół „dobrych” rozwiązań stosowana jest miara gęstości faworyzująca rozwiązania odległe.



Przykład – faworyzowanie rozwiązań odległych



Algorytmy SPEA II i NSGA II – właściwości

- ▶ Nie jest wymagana żadna dodatkowa wiedza na temat optymalizowanej funkcji.
- ▶ Badania potwierdzają ich wydajność czasową (Mendoza i in., 2006).
- ▶ Oba algorytmy rozwiązują statyczny problem optymalizacji. Zastosowanie do problemów dynamicznych pociąga za sobą trudności przedstawione uprzednio dla klasycznych algorytmów ewolucyjnych.

Podstawowy algorytm IDEA

Jedną z koncepcji wykorzystania metod optymalizacji wielokryterialnej w problemach dynamicznych jest IDEA, ang. *Infeasibility-Driven Evolutionary Algorithm* (Singh i in., 2008).

- ▶ Polega ona na stałym utrzymywaniu frakcji (o ustalonej liczebności) „dobrych” rozwiązań niedopuszczalnych w bieżącej populacji.
- ▶ Spośród kilku znanych metod pomiaru odstępstwa osobników od dopuszczalności, rozwiązanie wykorzystane w IDEA bazuje na metodzie rangowej znanej z NSGA II:
 - ▶ Osobniki dopuszczalne otrzymują rangę 0.
 - ▶ Spośród osobników niedopuszczalnych wybieramy rozwiązania niedominowane, które otrzymują rangę 1. Spośród pozostałych osobników znów wybieramy rozwiązania niedominowane i nadajemy im rangę 2 i tak dalej (aż do wyczerpania osobników).

IDEA(N, α)

Parametr N jest równy liczbie osobników w populacji, zaś $0 < \alpha < 1$ określa rozmiar frakcji osobników niedopuszczalnych.

$$N_{inf} = \alpha \cdot N$$

$$N_f = N - N_{inf}$$

$$P_1 = \text{InitPopulation}()$$

Evaluate(P_1)

while not TerminationCondition(P_i) **do**

$$C_i = \text{Crossover}(P_i)$$

$$C_i = \text{Mutation}(C_i)$$

Evaluate(C_i)

$$(S_f, S_{inf}) = \text{Split}(P_i + C_i)$$

Rank(S_f)

Rank(S_{inf})

$$P_{i+1} = S_f(1 : N_f) + S_{inf}(1 : N_{inf})$$

end while

Algorytm IDEA w problemach dynamicznych

Adaptacja podstawowego algorytmu IDEA do problemów dynamicznych wprowadza podział na ewolucję nadrzędną i podległą jej subewolucję (Singh i in., 2009):

- ▶ Subewolucja realizuje po prostu podstawowy algorytm IDEA.
- ▶ Nadrzędna ewolucja weryfikuje, czy wraz z upływem czasu (z $t - 1$ do t) nastąpiła zmiana funkcji celu. Jeśli tak, to przed rozpoczęciem subewolucji, wykonywana jest ponowna ewaluacja populacji (w oparciu o nową funkcję celu).



Algorytm IDEA w problemach dynamicznych

Parametr N_G określa liczbę iteracji algorytmu.

```

P1 = Initialize()
Evaluate(P1)
for  $i = 2$  to  $N_G$  do
    if the function has changed then
        Evaluate( $P_{i-1}$ )
    end if
     $C_{i-1} = \text{SubEvolve}(P_{i-1})$ 
    Evaluate( $C_{i-1}$ )
     $P_i = \text{Reduce}(P_{i-1} + C_{i-1})$ 
end for
  
```

Przewidywanie przyszłych funkcji celu

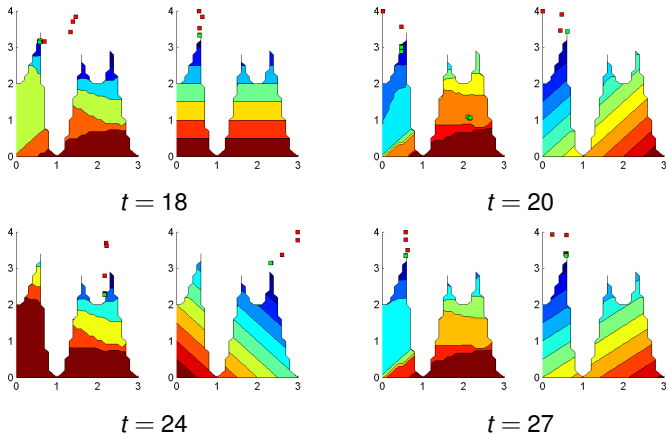
- ▶ Opisany algorytm IDEA prezentuje tzw. *podejście reaktywne* – weryfikuje, czy nastąpiła właśnie zmiana warunków i (w przypadku jej wykrycia) reaguje na tę zmianę.
- ▶ Algorytm IDEA-ARIMA prezentuje tzw. *podejście proaktywne* – na podstawie danych zgromadzonych do chwili bieżącej t przewiduje wartości funkcji celu w chwili $t + 1$, wykorzystując znany z analizy szeregów czasowych model ARIMA.

Przewidywanie przyszłych funkcji celu

- ▶ W każdym kroku t algorytmu IDEA-ARIMA dostępne są zarchiwizowane informacje o wartościach funkcji celu w iteracjach $1, \dots, t-1$ dla wszystkich osobników, jakie dotąd się pojawiły w wyniku ewolucji.
- ▶ W celu wyznaczenia przewidywanej wartości funkcji celu w chwili $t+1$ dla dowolnego $x \in \mathbb{R}^d$:
 - ▶ Odnajdujemy trzech najbliższych (w sensie normy euklidesowej) zarchiwizowanych osobników: x_I, x_{II}, x_{III} .
 - ▶ Na podstawie wszystkich zgromadzonych wartości funkcji celu w punktach x_I, x_{II}, x_{III} , obliczamy dla tych argumentów przewidywaną wartość funkcji celu w następnym kroku, wykorzystując model ARIMA(2, 1, 2).
 - ▶ Obliczamy średnią ważoną z wagami odwrotnie proporcjonalnymi do odległości każdego z osobników od x .



Przykład predykcji



Główne parametry algorytmu

- ▶ `num_gen` – liczba iteracji algorytmu,
- ▶ `num_gen_sub_evolve` – liczba iteracji w każdym pojedynczym procesie subewolucji,
- ▶ `pop_size` – rozmiar populacji,
- ▶ `infeasible_proportion` – proporcja utrzymywanych rozwiązań niedopuszczalnych w populacji,
- ▶ `prediction_start` – numer iteracji, od której rozpoczyna się predykcja funkcji celu.

Przebieg algorytmu

- ▶ W iteracjach o numerach $1, \dots, \text{prediction_start} - 1$ optymalizacja odbywa się identycznie jak w IDEA, jednak dodatkowo archiwizowane są wartości funkcji celu dla wszystkich osobników w kolejnych generacjach.
- ▶ W każdej iteracji t począwszy od prediction_start inicjowana jest losowo nowa ukryta populacja pomocnicza H_{t+1} , która (przy pomocy algorytmu IDEA) poszukuje ekstremum globalnego przewidywanej funkcji celu dla kroku $t + 1$.
- ▶ W chwili $t + 1$ (gdy znana jest już nowa postać funkcji celu), wykonywana jest ewaluacja osobników z populacji bieżącej P_{t+1} oraz populacji ukrytej H_{t+1} . Najlepszych pop_size osobników spośród $P_{t+1} + H_{t+1}$ wchodzi w skład nowej populacji bieżącej.

Procedura testowa

Wstępnie, wydajność algorytmu IDEA-ARIMA była badana przy wykorzystaniu funkcji testowych: g24_1 oraz g24_2 (Nguyen, Yao, 2009). Najbardziej interesujące wyniki uzyskano dla następujących parametrów:

- ▶ `num_gen = 64,`
- ▶ `num_gen_sub_evolve = 10,`
- ▶ `pop_size = 20,`
- ▶ `infeasibile_proportion = 0.2,`
- ▶ `prediction_start = 16.`



Funkcja testowa g24_1

Funkcja celu

$$F^{(t)}(x) = - \left[\sin \left(k\pi t + \frac{\pi}{2} \right) \cdot x_1 + x_2 \right]$$

Ograniczenia

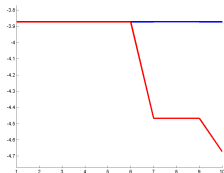
$$G_1(x) = 2x_1^4 - 8x_1^3 + 8x_1^2 - x_2 + 2$$

$$G_2(x) = 4x_1^4 - 32x_1^3 + 88x_1^2 - 96x_1 - x_2 + 36$$

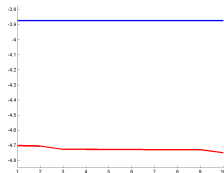
$$x = (x_1, x_2) \in [0, 3] \times [0, 4] \quad k = 0,25$$



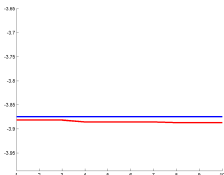
Najlepsze osobniki w populacji



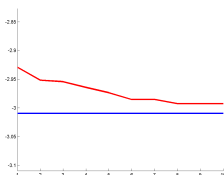
$t = 17$



$t = 23$



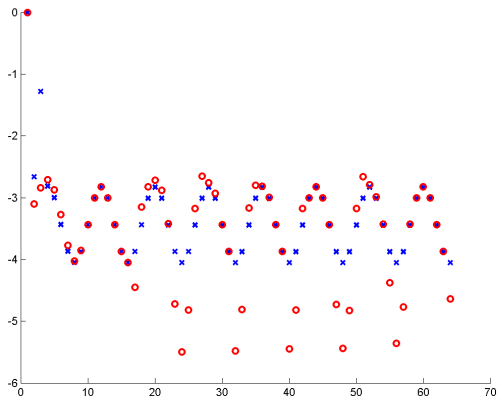
$t = 47$



$t = 53$

IDEA
IDEA-ARIMA

Najlepsze osobniki w populacji



IDEA

IDEA-ARIMA



Poprawnie rozpoznane ekstrema globalne

uruchomienie	ARIMA	IDEA-ARIMA
1.	27 (56,3%)	40 (83,3%)
2.	30 (71,4%)	42 (87,5%)
3.	30 (71,5%)	41 (85,4%)
4.	30 (71,5%)	41 (85,4%)
5.	31 (64,6%)	38 (79,2%)
6.	30 (71,5%)	41 (85,4%)
średnia:	29,7 (61,9%)	40,5 (84,3%)

Funkcja testowa g24_2

Funkcja celu

$$F^{(t)}(x) = -[p_1(t) \cdot x_1 + p_2(t) \cdot x_2]$$

$$p_1(t) = \begin{cases} \sin\left(\frac{k\pi t}{2} + \frac{\pi}{2}\right), & t \mid 2 \\ p_1(t-1), & t \nmid 2 \end{cases} \quad p_2(t) = \begin{cases} p_2(\max\{0, t-1\}), & t \mid 2 \\ \sin\left(\frac{k\pi(t-1)}{2} + \frac{\pi}{2}\right), & t \nmid 2 \end{cases}$$

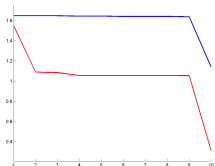
Ograniczenia

$$G_1(x) = 2x_1^4 - 8x_1^3 + 8x_1^2 - x_2 + 2$$

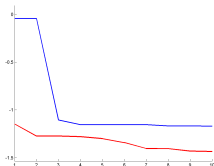
$$G_2(x) = 4x_1^4 - 32x_1^3 + 88x_1^2 - 96x_1 - x_2 + 36$$

$$x = (x_1, x_2) \in [0, 3] \times [0, 4] \quad k = 0, 25$$

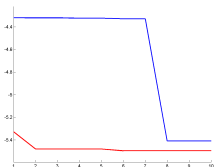
Najlepsze osobniki w populacji



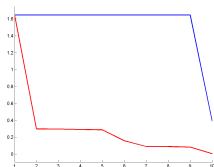
$t = 22$



$t = 30$



$t = 33$

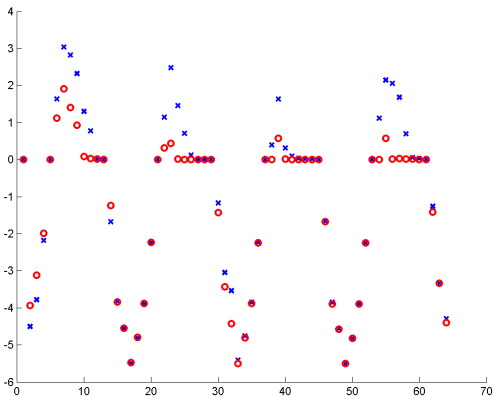


$t = 38$

IDEA

IDEA-ARIMA

Najlepsze osobniki w populacji



IDEA

IDEA-ARIMA

Podsumowanie

- ▶ Algorytm IDEA-ARIMA w przebadanych przypadkach okazał się ok. 20% bardziej wydajny pod względem dokładności i tempa przybliżania ekstremów globalnych dla funkcji dynamicznych niż wyjściowy algorytm IDEA.
- ▶ Koncepcja IDEA-ARIMA otwiera drogę do dalszych modyfikacji: próby poprawienia dokładności predykcji, zrównoleglenia obliczeń, poszukiwania rozwiązań mniej kosztownych pamięciowo, itp.
- ▶ Metoda może być wykorzystana w szerszym zakresie zagadnień ewolucyjnej analizy szeregów czasowych.



Bui, L., T., Branke, J., Abbass, H., A., *Multiobjective optimization for dynamic environments*. Evolutionary Computation, *The 2005 IEEE Congress on Issue Date: 2-5 Sept. 2005*, Vol. 3, pp. 2349 - 2356, 2005



Nguyen, T., Yao, X., *Benchmarking and solving dynamic constrained problems*. in *Proceedings of IEEE Congress on Evolutionary Computation (CEC)*, 2009.



Singh, H., K., Isaacs, A., Nguyen, T., T., Ray, T., Yao, X., *Performance of Infeasibility Driven Evolutionary Algorithm (IDEA) on Constrained Dynamic Single Objective Optimization Problems*. in *Proceedings of IEEE Congress on Evolutionary Computation (CEC 2009)*, 2009.



Singh, H., K., Isaacs, A., Ray, T., Smith, W. *Infeasibility Driven Evolutionary Algorithm (IDEA) for Engineering Design Optimization*. in *Proceedings of 21st Australasian Joint Conference on Artificial Intelligence AI-08*, pp. 104-115, 2008.